

大阪市港湾局 正会員 ○佐々木伸

1. まえがき

バーティカルドレーン法により軟弱地盤の改良を行なう場合には、垂直に打設されたドレーン材は、左端の進行と共に軸方向に変形を受ける。シート状ドレーン材の場合には、圧密沈下量に見合っただけシートの曲りとして表され、カニードレーン等の場合には、砂柱のぬじれ、圧縮などと表わされる。本来ドレーン材はでき子だけ均等に曲ることうが望ましいと考えられる。本研究では大型圧密槽中で真空による圧密実験を行ない、各種ドレーン材の材質と、軸方向の変形との関係を検討した。

2. 実験装置及び方法

実験装置の概略と図1に示した。圧密槽は、内径40cm高さ300cmのアクリル樹脂製透明パイアル用。ドレーン材、粘土と充填した後、槽の上部を、沈下に充分進むようになしたシートでミールし、上方から100%の真空ポンプを用いて-330%まで42日間吸引を行なった。なお圧密槽の下端に、アルドン管圧力計をもつけ、ドレーン材下端と併せて連結させてある。ドレーン材は、端ビ端締合ドレーン及びホリニアロコレン波板に不織布を貼り付けたもの。2種類を用い、これらを中5cm、長さ284cmにして28cmの粘土中にセットし、上部4cmは砂層中に入れた。また、砂(500μm~2mm)と直角2.5cmのネットに入れ、上記ドレーン材と同様にセットして比較実験を行なった。

土試料は、LL 85%~95%、PL 25%~40%の海成粘土に水を加え、初期含水比約110%（少しよりも少し高い）にしたものと用いた。

3. 実験結果

3-1 層別沈下曲線

実験に用いたドレーン材の性状を表1に示した。各々のドレーン材を同一条件の下に圧密した時の層別沈下曲線を図2~5に示した。層別沈下量は、粘土層に70cm毎にカオリントマーカーをつり、マークの沈下量で読み取った。各々について、多少のバラツキはあるが、330%^{kg}/m²42日間の真空圧密によって、大略53cm(19%)の沈下を示した。

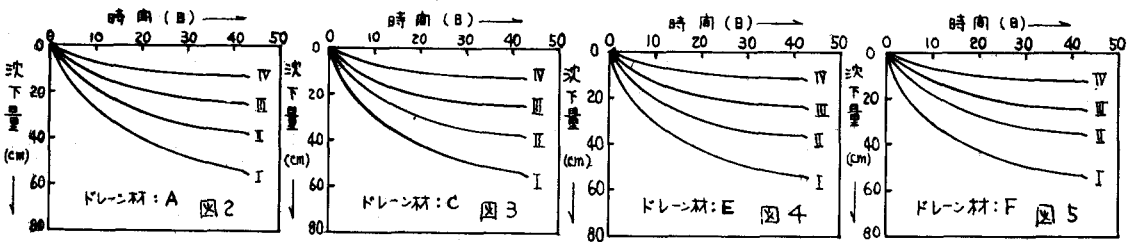
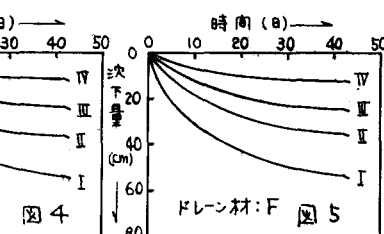
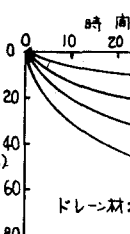
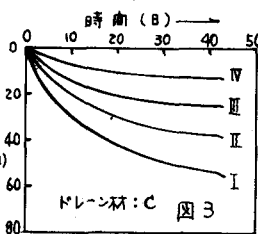
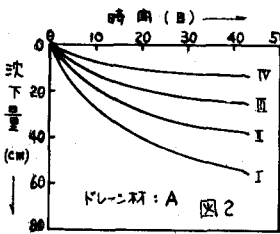


図1 実験装置図

表1

記号	ドレーン材質	厚さmm	曲げ強度kg/mm ²
A	端ビ端締合体	1.5	1.89
B	"	1.3	1.19
C	"	1.3	0.76
D	"	1.3	0.80
E	ホリニアロコレン波板	3.0	2.19
F	砂	—	—



また、図1に示した圧密槽下部のアルドン管圧力計は実験中におけるドレーニング材の折れ、ときれなどチェックするために設置したものであるが、全実験を通じて正常に作用し(-330 mmHg 時: -0.85 kN/m^2 、-650 mmHg 時: -0.86 kN/m^2)ドレーニング材の切断が生じなかったことを示した。

3-2 ドレーニング材の曲りの状態

圧密槽の解体後、各層の含水比を測定した結果を、図6に示す。これからも、圧密がほぼ均等に行なわれたことが解る。

図7に圧密終了後のドレーニング材の曲り状態を曲率半径の度数分布で示した。曲りの平均半径 \bar{x} は算術平均として求めた。

各ドレーニング材は非常に複雑な曲り方をしており、埴ビ焼結体ドレーニング材では、曲げ強度の小さなほど、曲りの半径が小さく、均等な曲り方になることが判る。

4 考察および結論

図7に示した曲りの平均半径とドレーニング材の曲げ強度の関係をプロットすると、図8のようになる。

図8において、A～Dまでは、一応の相関関係が得られるが、Eについては、少し異なる傾向を示してある。

圧密槽から取り出したドレーニング材を調べると、Eは曲り部に沿って割れた部分が多く、片側が鋭角な曲りになり、一方が口を開けていた状態が目立つ。

真空圧密の場合には、シート状ドレーニング材が土中に曲っても、下部までドレーニング効果が伝達されることが確認できた。又、土中において、半径の小さな、スムーズな曲り方をさせたためには、曲げ強度の小さなドレーニング材を用いることよいかことが確認された。ただし、曲り方はEにより異なったとも考えられる。

本実験では、一種類のエについて調べたものであり、今後、エを変えて実験を重ね、さらによいドレーニング材を研究していきたい。

図 6

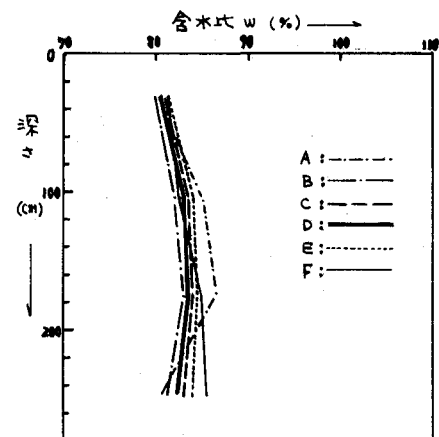


図 7

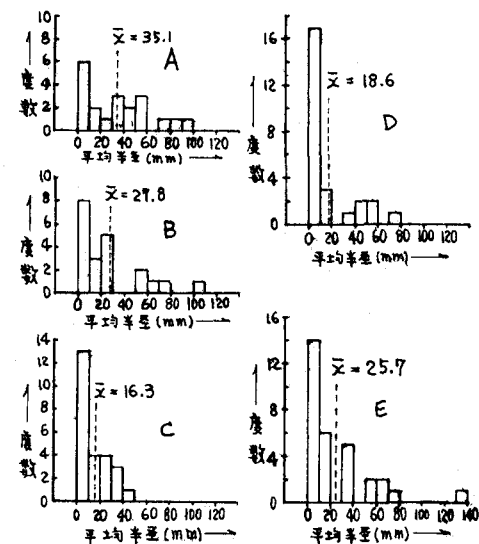


図 8

